

ห้องสมุดงานวิจัย สำนักงานคณะกรรมการการวิจัยแห่งชาติ



E42199



KINETICS OF *BURKHOLDERIA PSEUDOMALLEI* AND  
ANTIBODY DETECTION IN ACUTE AND CHRONIC  
INFECTED BALB/c MICE

MRS. NUTTIYA SRISURAT

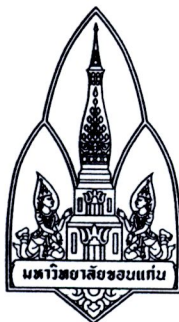
A THESIS FOR THE DEGREE OF MASTER OF SCIENCE  
KHON KAEN UNIVERSITY

2009





E42199



**KINETICS OF *BURKHOLDERIA PSEUDOMALLEI* AND  
ANTIBODY DETECTION IN ACUTE AND CHRONIC  
INFECTED BALA/c MICE**



**MRS. NUTTIYA SRISURAT**

**A THESIS FOR THE DEGREE OF MASTER OF SCIENCE  
KHON KAEN UNIVERSITY**

**2009**

**KINETICS OF *BURKHOLDERIA PSEUDOMALLEI* AND  
ANTIBODY DETECTION IN ACUTE AND CHRONIC  
INFECTED BALA/c MICE**

**MRS. NUTTIYA SRISURAT**

**A THESIS SUBMITTED IN PARTIAL FULFILLMENT OF THE  
REQUIREMENTS  
FOR THE DEGREE OF MASTER OF SCIENCE  
IN MEDICAL MICROBIOLOGY  
GRADUATE SCHOOL KHON KAEN UNIVERSITY**

**2009**



**THESIS APPROVAL**  
**KHON KAEN UNIVERSITY**  
**FOR**  
**MASTER OF SCIENCE**  
**IN MEDICAL MICROBIOLOGY**

**Thesis Title:** Kinetics of *Burkholderia pseudomallei* and antibody detection in acute and chronic infected BALB/c mice

**Author:** Mrs. Nuttiya Srisurat

**Thesis Examination Committee:**

|  |             |
|--|-------------|
| Assoc. Prof. Dr. Pannika Ritvirool           | Chairperson |
| Assoc. Prof. Dr. Surasakdi Wongratanacheewin | Member      |
| Assoc. Prof. Dr. Rasana Wongratanacheewin    | Member      |
| Assist. Prof. Dr. Unchalee Tattawasart       | Member      |

**Thesis Advisors:**

.....  
..... Advisor  
(Assoc. Prof. Dr. Surasakdi Wongratanacheewin)

.....  
..... Co-Advisor  
(Assist. Prof. Dr. Unchalee Tattawasart)

.....  
(Assoc. Prof. Dr. Lampang Manmart)  
Dean, Graduate School

.....  
(Prof. Dr. Wiroom Laupattarakasem)  
Dean, Faculty of Medicine

นฤติยา ศรีสุราษ. 2552. การตรวจหาเชื้อ *Burkholderia pseudomallei* และแอนติบอดีในหนู BALB/c ที่ติดเชื้อแบบเฉียบพลัน และเรื้อรังในระยะต่างๆ. วิทยานิพนธ์ปริญญาวิทยาศาสตรมหาบัณฑิต สาขาวิชาจุลชีววิทยาทางการแพทย์ บัณฑิตวิทยาลัย มหาวิทยาลัยขอนแก่น.

อาจารย์ที่ปรึกษา: รศ.ดร. สุรศักดิ์ วงศ์รัตนชีวิน, ผศ.ดร.อัญชลี คัดตะวะศาสตร์

บทคัดย่อ

E 42199

เชื้อ *Burkholderia pseudomallei* เป็นสาเหตุของโรคmelioidosis ซึ่งพบได้ในประเทศไทย โดยเฉพาะอย่างยิ่งภาคตะวันออกเฉียงเหนือ เชื้อนี้เป็นสาเหตุสำคัญของการตายในกลุ่มผู้ป่วยติดเชื้อในกระแสเลือดจากชุมชน ปัจจุบันการตรวจทางห้องปฏิบัติการเพื่อวินิจฉัยโรคมelioidosis ยังคงอาศัยการเพาะเชื้อเป็นหลัก การพัฒนาการตรวจด้านภูมิคุ้มกัน และการใช้เทคนิคชีววิทยาโมเลกุล ยังให้ผลไม่เป็นที่น่าพอใจเมื่อเปรียบเทียบกับวิธีเพาะเชื้อ เนื่องจากข้อมูลเกี่ยวกับจำนวนของเชื้อและระดับของแอนติบอดีในกระแสเลือดที่ตอบสนองเมื่อสัมผัสเชื้อมีน้อย ในการศึกษานี้ได้ทำการตรวจหาจำนวนเชื้อ *B. pseudomallei* และระดับของแอนติบอดีที่ตอบสนองเมื่อสัมผัสเชื้อในช่วงเวลาต่างๆ โดยการฉีดเชื้อ *B. pseudomallei* strain A2 จำนวน 230 และ 6 CFU เข้าไปในช่องท้อง หนู BALB/c เพื่อทำให้เกิดเชื้อแบบเฉียบพลัน (acute) และเรื้อรัง (chronic) ตามลำดับ จากนั้นทำการตรวจหาเชื้อในเลือด ปอด ตับ และม้าม โดยการเพาะเชื้อ และ วิธี PCR และตรวจหาระดับแอนติบอดีที่ตอบสนองหลังรับเชื้อโดยวิธี ELISA ในช่วงเวลาต่างๆ ในกลุ่มที่ติดเชื้อแบบเฉียบพลัน สามารถตรวจพบเชื้อโดยวิธีเพาะเชื้อ ในเลือด ตับ และม้าม ตั้งแต่ 12 ชั่วโมงหลังจากรับเชื้อ (20%, 60%, 60% ตามลำดับ) และ โดยวิธี PCR (20%, 20%, 0% ตามลำดับ) จำนวนเชื้อในเลือดสูงสุดที่เวลา 60 ชั่วโมงหลังจากรับเชื้อ จากนั้นค่อยๆลดลงในขณะที่ม้ามและตับพบเชื้อสูงสุดที่ 48 ชั่วโมงหลังจากรับเชื้อ สามารถพบปริมาณของแบคทีเรียในม้ามได้มากและนานกว่าอวัยวะอื่นๆ ส่วนระดับแอนติบอดีที่ตอบสนองหลังจากรับเชื้ออยู่ในระดับที่ต่ำ และไม่แตกต่างเมื่อเทียบกับกลุ่มควบคุม ( $P > 0.05$ ) ในการศึกษาหนูที่ติดเชื้อแบบเรื้อรังโดยวิธีเพาะเชื้อพบว่าหนูส่วนใหญ่ (10/15) ไม่พบเชื้อในกระแสเลือด ส่วนที่พบเชื้อในเลือดจะพบในปริมาณที่น้อยในช่วงระยะเวลาดังกล่าวตั้งแต่ 1 ถึง 5 วัน หลังจากรับเชื้อแต่ตรวจไม่พบโดยวิธี PCR ส่วนแอนติบอดี สามารถตรวจพบในวันที่ 5 หลังจากรับเชื้อ และระดับจะขึ้นสูงสุดในวันที่ 14 และยังคงระดับอยู่ในกระแสเลือดจนถึงวันที่ 21 หลังจากรับเชื้อ

การศึกษานี้แสดงให้เห็นว่าปริมาณเชื้อที่หนูได้รับที่แตกต่างกันมีผลต่อความแตกต่างของจำนวนเชื้อ และระดับของแอนติบอดีที่ตอบสนองต่อการติดเชื้อ โดยกลุ่มติดเชื้อเฉียบพลัน (Acute) ควรเลือกใช้วิธีเพาะเชื้อ หรือวิธี PCR เนื่องจากระดับแอนติบอดียังไม่พบในกระแสเลือด สำหรับกลุ่มเรื้อรัง (Chronic) สามารถใช้วิธีการตรวจทั้งทางด้านภูมิคุ้มกัน และการเพาะเชื้อ ส่วนวิธี PCR ควรต้องพัฒนาความไวของการตรวจหา DNA ของเชื้อ เพื่อเป็นแนวทางในการวินิจฉัยโรคมelioidosis



Nuttiya Srisurat. 2009. **Kinetics of *Burkholderia pseudomallei* and Antibody Detection in Acute and Chronic Infected BALB/c Mice.**

Master of Science Thesis in Medical Microbiology, Graduate School,  
Khon Kaen University

**Thesis Advisors:** Assoc. Prof. Dr. Surasakdi Wongratanacheewin,  
Assist. Prof. Dr. Unchalee Tattawasart

**ABSTRACT**

**E 42199**

*Burkholderia pseudomallei* is the causative agent of melioidosis. In Thailand, especially in the northeast, this organism is a major cause of morbidity and mortality of community-acquired septicemia. The culture technique is still a gold standard for diagnosis of melioidosis in routine laboratory. The serological and molecular methods were developed but they did not give any satisfactory result when compared to the culture. One of the reasons that make all tests unsatisfied is the lack the information of the amount and window period of *B. pseudomallei* and antibody presence in blood circulation. Therefore, in this study, the kinetic of *B. pseudomallei* and antibody were investigated using BALB/c mice as a model. The animals were infected intraperitoneally with different number of *B. pseudomallei* strain A2 for acute and chronic infection models (230 and 6 CFU respectively). The amount of the bacteria in their blood, lungs, livers and spleens were monitored by both cultures and PCR and the antibody response was analyzed by ELISA at different time intervals. In acute infection, the bacteria could be detected in blood, liver and spleen starting from 12 h after infection by culture (20%, 60% and 60% respectively) and PCR (20%, 20% and 0% respectively). The number of bacteria found in blood was peaked at 60 h after infection whereas in the spleen and liver they peaked at 48 h. The spleen was found contain higher in number of bacteria and they also persisted longer than other organs. The antibody level in mice was low and does not significantly different in each group when compared to the control group ( $P > 0.05$ ). In chronic model, most of the infected animals gave negative blood culture (10/15). Those with bacteremia were found to have a very few number of *B. pseudomallei* during the 1<sup>st</sup> to 5<sup>th</sup> day post-infection by culture but not detectable by PCR. The titer of antibody in chronic

**E42199**

infected mice could be detected after 5 days of infections and became maximum at 14<sup>th</sup> days before persisted until 21<sup>st</sup> day post-infection.

This study demonstrated the different in the number of the organisms and antibody profiles when varied the number of infecting bacteria. For acute infection, the culture or PCR method could be used for diagnosis. In chronic infection, the serology and culture would be appropriate while the PCR method still needs further development to increase the sensitivity for diagnosis in melioidosis.

**Goodness portion to the present thesis is dedicated  
for my parents, relatives and the entire teaching staffs.**



## ACKNOWLEDGEMENTS

I would like to express my deepest and sincere gratitude to my advisor, Assoc.Prof. Dr. Surasakdi Wongratanacheewin for his valuable advises, guidance, intense interest, and kindness the course in the study, and also to my co-advisor, Assist. Prof. Dr. Unchalee Tattawasart for her helpfulness, useful comments and suggestions. I deeply appreciated the time they spared me during the preparation of this thesis.

I am grateful to my thesis committee, Associate Professor Dr. Pannika Ritvirool, Associate Professor Dr. Rasana Wongratanacheewin, Assistant Professor Dr. Unchalee Tattawasart and Associate Professor Dr. Surasakdi Wongratanacheewin.

Gratefulness is also expressed to teaching staff and members in the Department of Microbiology for their practical help, providing the kindness, wonderful environment, and friendship during the time of this study.

My special thanks are expressed to my friends for their helps in any ways and also expressed to whom that may be concerned to my study, as I did not mention here.

I would like to thanks the Melioidisis Research Center, Khon Kaen University for supporting this study.

Finally, I would like to express my deepest appreciation and sincere gratitude to my family for their love, devoting, understanding, and encouragement through entire my study.

Nuttiya Srisurat

## TABLE OF CONTENTS

|  | Page |
|--|------|
| ABSTRACT (IN THAI)                                 | i    |
| ABSTRACT (IN ENGLISH)                              | ii   |
| DEDICATION   | iv   |
| ACKNOWLEDGEMENTS                                   | v    |
| TABLE OF CONTENTS                                  | vi   |
| LIST OF TABLES                                     | viii |
| LIST OF FIGURES                                    | ix   |
| LIST OF ABBREVIATIONS                              | xi   |
| CHAPTER I INTRODUCTION                             | 1    |
| 1. Rationale and background                        | 1    |
| 2. Objectives of the study                         | 3    |
| 3. Limitations of the study                        | 4    |
| 4. Location of research conducting                 | 4    |
| 5. Anticipated outcome                             | 4    |
| CHAPTER II RELATED RESEARCH AND LITERATURE REVIEW  | 5    |
| 1. Background and History                          | 5    |
| 2. Epidemiology                                    | 6    |
| 3. Bacteriology and Pathogenesis                   | 7    |
| 4. Animal models of disease susceptibility         | 20   |
| 5. Clinical features and management of melioidosis | 22   |
| CHAPTER III RESEARCH METHODOLOGY                   | 36   |
| 1. Materials                                       | 36   |
| 2. Study designs                                   | 38   |
| 3. Methods   | 40   |

## TABLE OF CONTENTS (Cont.)

|   | <b>Page</b> |
|---|-------------|
| CHAPTER IV RESULTS  | 45          |
| 1. Kinetic of <i>B. pseudomallei</i> in blood of acute infected BALB/c mice.          | 45          |
| 2. Kinetic of <i>B. pseudomallei</i> in various organs of acute infected BALB/c mice. | 53          |
| 3. Kinetic of <i>B. pseudomallei</i> antibody of acute infected BALB/c mice.          | 58          |
| 4. Kinetic of <i>B. pseudomallei</i> in blood of chronic infected BALB/c mice.        | 61          |
| 5. Kinetic of <i>B. pseudomallei</i> antibodies in chronic infected mice.             | 63          |
| CHAPTER V DISCUSSION  | 65          |
| REFERENCES  | 69          |
| APPENDICES  | 88          |
| RESEARCH PRESENTATION   | 92          |
| VITAE   | 93          |



## LIST OF TABLES

|   | <b>Page</b> |
|---|-------------|
| Table 1 The presence of <i>B. pseudomallei</i> in acute infected BALB/c mice.   | 46          |
| Table 2 The presence of <i>B. pseudomallei</i> DNA in acute infected BALB/c mice.   | 51          |
| Table 3 The detection of antibodies to <i>B. pseudomallei</i> in plasma samples of infected BALB/c mice at various times after infection by ELISA using CF. | 59          |
| Table 4 Kinetic of <i>B. pseudomallei</i> in blood of chronic infected BALB/c mice.   | 62          |

## LIST OF FIGURES

|           | <b>Page</b>   |
|-----------|---|
| Figure 1  | Worldwide distribution of melioidosis. 7  |
| Figure 2  | The phylogeny of the <i>Burkholderia</i> genus. 9   |
| Figure 3  | The intracellular lifestyle of <i>Burkholderia pseudomallei</i> . 16  |
| Figure 4  | Various disease outcomes in <i>Burkholderia pseudomallei</i> infection. 26  |
| Figure 5  | Seven unique <i>B. pseudomallei</i> colony morphotypes on Ashdown's agar. 32  |
| Figure 6  | The study design of kinetic growth of <i>B. pseudomallei</i> and specific antibody responses in blood and organs of acute infected BALB/c mice 39 |
| Figure 7  | The study design of growth kinetic of <i>B. pseudomallei</i> and specific antibody responses in blood of chronic infected BALB/c mice 40          |
| Figure 8  | Kinetic of bacterial in blood of acute <i>B. pseudomallei</i> infected mice. 47   |
| Figure 9  | The percent positive in blood by culture method at various time points after infection in acute <i>B. pseudomallei</i> infected mice. 48          |
| Figure 10 | Sensitivity of the PCR for detection of <i>B. pseudomallei</i> . 49   |
| Figure 11 | The detection rate of PCR in blood of acute <i>B. pseudomallei</i> infected mice. 52  |
| Figure 12 | The bacterial loads in various organs of acute <i>B. pseudomallei</i> infected mice as determined by culture method. 54                           |
| Figure 13 | The percent positive by culture method at various time points after infection in various organs of acute <i>B. pseudomallei</i> infected mice. 55 |

**TABLE OF FIGURES (Cont.)**

|   | <b>Page</b> |
|---|-------------|
| Figure 14    Detection of <i>B. pseudomallei</i> DNA in blood and various organs of acute infected mice.      | 57          |
| Figure 15    ELISA analysis of specific antibody responses during acute <i>B. pseudomallei</i> infected mice. | 60          |
| Figure 16    ELISA analysis of specific antibody responses in chronic <i>B. pseudomallei</i> infected mice.   | 64          |



## LIST OF ABBREVIATIONS

|                                 |                                   |
|---------------------------------|-----------------------------------|
| /                               | Per                               |
| %                               | Percent                           |
| $\beta$                         | Beta                              |
| $\gamma$                        | Gamma                             |
| $\mu$                           | Micro ( $10^{-6}$ )               |
| $^{\circ}\text{C}$              | Deegree Celsius                   |
| $\mu\text{g}$                   | Microgram(s)                      |
| $\mu\text{l}$                   | Microliter(s)                     |
| $\mu\text{M}$                   | Micromolar                        |
| $\mu\text{mole}$                | Micromole                         |
| Ab                              | Antibody                          |
| Ag                              | Antigen                           |
| Ara-                            | L-Arabinose non-assimilator       |
| Ara+                            | L-Arabinose assimilator           |
| ATCC                            | American Type Culture Collection  |
| bp                              | Base pair(s)                      |
| $\text{C}_2\text{H}_5\text{OH}$ | Absolute ethanol                  |
| CFU                             | Colony forming unit               |
| cm                              | Centimeter                        |
| $\text{CO}_2$                   | Carbondioxide                     |
| CMIR                            | Cell-mediated immune response     |
| DNA                             | Deoxyribonucleic acid             |
| DW                              | Distilled water                   |
| e.g.                            | For example                       |
| ELISA                           | Enzyme-linked immunosorbent assay |
| EPS                             | Exopolysaccharide                 |
| <i>et al.</i>                   | Et. Alii (Latin), and other       |
| etc.                            | Et. cetera (Latin), and so on     |
| FBS                             | Fetal bovine serum                |

**LIST OF ABBREVIATIONS (Cont.)**

|  |                                       |
|--|---------------------------------------|
| g  | Gram(s)                               |
| hrs.   | Hour(s)                               |
| HCl  | Hydrochloric acid                     |
| HIR  | Humoral immune response               |
| HRP  | Horseradish peroxidase                |
| IFN  | Interferon                            |
| Ig   | Immunoglobulin                        |
| IL   | Interleukin                           |
| K <sub>2</sub> HPO <sub>4</sub>                    | Potassium dihydrogen phosphate        |
| KCl  | Potassium chloride                    |
| kDa  | Kilodalton(s)                         |
| l  | Liter(s)                              |
| LD <sub>50</sub>                                   | Lethal dose fifty percent point       |
| LDH  | Lactase dehydrogenase                 |
| LPS  | Lipopolysaccharide                    |
| m  | Milli (10 <sup>-3</sup> )             |
| M  | Molar                                 |
| mAb  | Monoclonal antibody                   |
| min  | Minute(s)                             |
| ml   | Milliliter(s)                         |
| mm   | Milliliter(s)                         |
| MNGC   | Multinucleated giant cell             |
| mRNA   | Messenger ribonucleic acid            |
| MW   | Molecular weight                      |
| Na <sub>2</sub> CO <sub>3</sub>                    | Sodium carbonate                      |
| Na <sub>2</sub> HPO <sub>4</sub>                   | Disodium hydrogen phosphate           |
| Na <sub>2</sub> HPO <sub>4</sub> 2H <sub>2</sub> O | Disodium hydrogen phosphate dehydrate |
| NaCl   | Sodium chloride                       |
| NaHCO <sub>3</sub>                                 | Sodium hydrogen carbonate             |

**LIST OF ABBREVIATIONS (Cont.)**

|                  |   |
|------------------|---|
| NaN <sub>3</sub> | Sodium azide  |
| NaOH             | Sodium hydroxide  |
| ND               | Not determine   |
| NG               | No growth   |
| OD               | Optical density   |
| OMP              | Outer membrane protein                                    |
| PAMPs            | Pathogen-Associated Molecular Patterns                    |
| PBS              | Phosphate buffer saline                                   |
| PCR              | Polymerase chain reaction                                 |
| PMNs             | Polymorphonuclear neutrophils                             |
| rpm              | Round per minute  |
| rRNA             | Ribosomal ribonucleic acid                                |
| s                | Second(s)   |
| S.D.             | Standard deviation  |
| SDS-PAGE         | Sodium dodecyl sulfate polyacrylamide gel electrophoresis |
| TLR              | Toll-like receptor  |
| TSB              | Trypticase soy broth                                      |
| Tween 20         | Polyoxyethylenesorbitan-monolaurate                       |
| U                | Unit  |
| UV               | Ultraviolet   |
| V                | Volt  |
| vol/vol          | Volume by volume  |
| Wt/vol           | weight by volume  |
| W                | Watt  |